



## استفاده از تصاویر استریو برای ناوبری ربات سیار

ابوالقاسم راعی<sup>۱</sup>، عبدالرسول قاسمی<sup>۲</sup>

آزمایشگاه تحقیقاتی ربات های سیار

دانشگاه صنعتی امیر کبیر

E-mail: (Raie@aut.ac.ir)

### چکیده

در این مقاله نحوه استخراج نقشه محیط توسط دوربین استریو برای استفاده یک ربات سیار ارائه می گردد. تصاویر گرفته شده توسط دوربین با پارامترهای کالیبراسیون تصحیح می گردد. کالیبراسیون بر مبنای روش Tsai انجام می شود، سپس قطعه خط های موجود در تصاویر چپ و راست پیدا شده و برای هر قطعه خط در تصویر چپ متناظر در تصویر راست به دست می آید. نقشه عمق به دست آمده سپس به نقشه مواں روی زمین تبدیل می گردد. عملکرد الگوریتم با ارائه نمونه هایی از نقشه های بدبست آمده از تصاویر واقعی نشان داده می شود. تصاویر مربوط به محیط های داخلی هستند و نقشه های بدبست آمده برای ناوبری ربات مناسب می باشند. الگوریتم های به کار رفته جهت استخراج نقشه با یک پروسسور پنتیوم III با سرعت ۹۳۳ MHz تصویر در ثانیه قابل اجرا است که با افزایش توان پروسسور به پروسسورهای رایج امروزی به حداقل ۸ هرتز قابل افزایش است. چنین فرکانسی برای ناوبری ربات با حداقل سرعت  $5 \text{ m/s}$  مناسب می باشد.

واژه های کلیدی: ربات سیار - بینایی استریو - نقشه محیط - ناوبری

### ۱- مقدمه

در ناوبری ربات های سیار، ادراک محیط یکی از مهم ترین بخش های مسئله است. ربات می خواهد در محیط های ناشناخته حرکت کند و برای حرکت و انجام ماموریت خود می بایست اطلاعات لازم را در مورد محل و موقعیت مواضع با استفاده از سنسورها، به دست آورد. اغلب ربات ها برای اخذ این اطلاعات از سنسورهای ماوراء صوت یا لیزر استفاده می کنند [1]. با افزایش توان پروسسورها امکان استفاده از سنسورهای بینایی به عنوان ابزار درک محیط فراهم شده است. ربات با استفاده از یک دوربین قادر به انجام کارهایی از قبیل دنبال کردن خط راهنمای یا یافتن یک ویژگی خاص در محیط می باشد [2]. در حالت کلی با استفاده از یک تصویر نمی توان اطلاعات لازم را در مورد موقعیت سه بعدی اجزاء آن دست آورد [3]، اما با استفاده از چند تصویر که از زوایای مختلف از صحنه گرفته شده است می توان به این اطلاعات دست یافت.

بینایی استریو شامل گرفتن دو یا چند تصویر از یک محیط و استخراج اطلاعات سه بعدی اجسام موجود در محیط، با پردازش تصاویر گرفته شده می باشد. نحوه پردازش تصاویر گرفته شده با توجه به اهداف مورد نظر، از یک کاربرد به

۱- استادیار الکترونیک، دانشکده مهندسی برق

۲- دانشجوی کارشناسی ارشد الکترونیک، دانشکده مهندسی برق



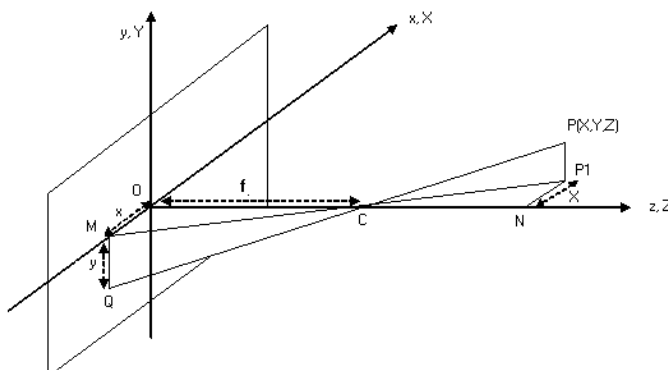
کاربرد دیگر تفاوت دارد. در منابع پژوهشی، مقالات بسیاری ابعاد مختلف بینایی استریو را مورد بررسی قرار داده اند. که از این میان به مواردی که به موضوع مورد نظر این مقاله نزدیکتر است اشاره می شود. در [1]، با استفاده از سه دوربین که در یک آرایش خاص چیده شده اند، نقشه های عمق با فرکانس  $2\text{Hz}$  به دست آمده است. برای پردازش تصاویر از الگوریتم های مبتنی بر ناحیه و پروسسورهای پردازش سیگنال (DSP) استفاده شده است. با ایجاد نقشه زمین و استفاده از روش میدان پتانسیل ربات توانسته با سرعت ۵/ متر بر ثانیه در محیط حرکت کند. در [4]، از روش های مبتنی بر ویژگی برای به دست آوردن نقشه عمق تصاویر محیط های داخلی استفاده شده است. ابتدا قطعه خط های موجود در دو تصویر به دست آمده و سپس تناظر یابی بین خطوط انجام شده است. نتایج ارائه شده در حد یافتن متناظر هر قطعه خط است و اطلاعاتی از نقشه زمین ارائه نشده است. در [5]، از اطلاعات دو تصویر برای هدایت ربات در محیط استفاده شده است که در آن ربات با پردازش تصاویر گرفته شده، سطح روی زمین را به سطوح دارای مانع یا سطوح بدون مانع تفکیک می کند.

در این مقاله نمونه ای از استفاده از بینایی استریو در ساختن نقشه زمین با فرکانس  $4\text{Hz}$ ، با استفاده از یک الگوریتم مبتنی بر ویژگی و پروسسورهای رایج ارائه شده است. در بخش ۲ این مقاله هندسه تصویر برداری استریو و مراحل مختلف عمق یابی با روش بینایی استریو به شکل کلی بیان می شود. در بخش ۳، در مورد استخراج اجزاء مورد نظر از تصاویر و دلیل این انتخاب توضیح داده شده و الگوریتم های لازم برای استخراج اجزاء بیان می گردد. در بخش ۴، نحوه تطبیق ویژگی های اجزاء استخراج شده از تصاویر ارائه می شود. در بخش ۵، نحوه بازسازی و مساله کالیبراسیون دوربین آمده است. بستر آزمایشگاهی مورد استفاده و نتایج عملی در قسمت ۶ ارائه شده است.

## ۲- مروری بر هندسه تصویر برداری و بیان صورت مساله

شکل (۱) نحوه تشکیل تصویر در دوربین را با تبدیل پرسپکتیو نشان می دهد. این تبدیل نقاط سه بعدی فضا را به داخل صفحه تصویر می نگارد و چگونگی تشکیل پیکسل های تصویر از نقاط سه بعدی محیط را ارایه می دهد. دستگاه مختصات تصویر را با  $(x, y, z)$  و مختصات نقاط واقعی را با  $(X, Y, Z)$  نشان می دهیم. فرض می کنیم که مرکز دستگاه های مختصات صفحه تصویر و محیط واقعی یکسان باشد و فاصله کانونی لنز برابر  $f$  باشد. حال اگر تصویر نقطه  $(X, Y, Z)$  در صفحه تصویر  $(x, y)$  باشد، از تشابه مثلث های  $MOC, P_1CN$  و تشابه مثلث های  $QMC, PCP_1$  داریم:

$$\frac{x}{f} = -\frac{X}{Z-f} = \frac{X}{f-Z}, \quad \frac{y}{f} = -\frac{Y}{Z-f} = \frac{Y}{f-Z} \quad (1)$$



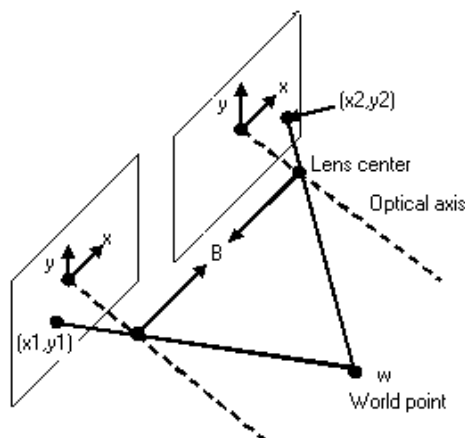
شکل (۱) : چگونگی تشکیل تصویر در صفحه دوربین



با استفاده از معادلات فوق داریم:

$$x = \frac{fX}{f - Z}, \quad y = \frac{fY}{f - Z} \quad (2)$$

از روابط (۲) مشخص است که با داشتن  $(x, y)$ ، استخراج  $(X, Y, Z)$  ممکن نیست. به عبارت دیگر تبدیل پرسپکتیو یک تبدیل همه به یک است که همه نقاط خط گذرنده از  $(0, 0, f)$  و  $(x, y, 0)$  را به نقطه  $(x, y)$  در صفحه تصویر می‌نگارد. برای استخراج موقعیت سه بعدی (3D) هر نقطه می‌بایست از دو یا چند تصویر که از زوایای دید متفاوت گرفته شده اند استفاده کنیم. شکل (۲) هندسه تصویربرداری با دو دوربین موازی را نشان می‌دهد.



شکل(۲): هندسه تصویربرداری استریو با استفاده از دو دوربین موازی

در این شکل، یافتن مختصات  $(X, Y, Z)$  برای نقطه  $W$ ، با فرض داشتن مقادیر مختصات تصاویر آن در دو دوربین، یعنی  $(x_1, y_1)$  و  $(x_2, y_2)$  مورد نظر می‌باشد. فرض می‌شود که دوربین‌ها کاملاً مشابه می‌باشند و دستگاه‌های مختصات آنها تنها با یک جایگایی در امتداد محور  $x$  بر هم منطبق می‌شوند.

اکنون مرکز دستگاه مختصات محیط را یک بار منطبق با دستگاه مختصات دوربین چپ و یک بار منطبق با دستگاه مختصات دوربین راست در نظر می‌گیریم، از رابطه (۱) داریم:

$$X_1 = \frac{x_1}{f}(f - Z_1), \quad X_2 = \frac{x_2}{f}(f - Z_2) \quad (3)$$

اندیس‌های ۱ و ۲ برای  $(X, Y, Z)$  حاکی از انطباق دستگاه مختصات محیط بر مختصات دوربین چپ و راست می‌باشد. با توجه به وضعیت دوربین‌ها و نحوه جایگایی دستگاه مختصات محیط داریم:

$$X_2 = X_1 + B, \quad Z_2 = Z_1 = Z \quad (4)$$

که  $B$  نشان‌دهنده طول خط واصل بین مرکز نوری دوربین‌ها (خط پایه) است. با استفاده از روابط (۴) و جایگذاری مقادیر در روابط (۳) داریم:

$$X_1 + B = \frac{x_2}{f}(f - Z), \quad X_1 = \frac{x_1}{f}(f - Z) \quad (5)$$

اکنون با حذف در روابط (۵)، مختصات عمق نقطه  $W$  از رابطه (۶) قابل حصول می‌باشد.



$$Z = f - \frac{fB}{x_2 - x_1} \quad (6)$$

بر اساس روابط فوق مشخص است که اگر نقاط متناظر مربوط به یک نقطه واقعی در دو تصویر مشخص شوند، استخراج هر سه بعد آن نقطه امکان پذیر می‌گردد. بنابراین بازسازی صحنه از دو تصویر گرفته شده، منوط به دانستن تناظر پیکسل‌های مختلف در دو تصویر می‌باشد. لذا مسائل اصلی هر الگوریتم استریو عبارتند از [5] :

۱- انتخاب و استخراج اجزاء تصویر: اگرچه تا کنون نقاط متناظر در دو تصویر مورد توجه قرار گرفته‌اند و لیکن در حالت کلی و برای کاهش حجم محاسبات، می‌توان اجزاء مهم و مورد نظر از دو تصویر را انتخاب و استخراج نمود و موقعیت 3D آن اجزاء را به دست آورد. مثلاً پاره خط‌ها، کانتورها و ... می‌توانند بر حسب محیط به عنوان اجزاء اصلی انتخاب و استخراج شوند.

۲- تطبیق و یافتن اجزاء متناظر: در این مرحله، لیست اجزاء انتخاب شده و استخراج شده از دو تصویر، با استفاده از توابع معیار مناسب تطبیق داده شده و اجزاء متناظر در دو تصویر مشخص می‌شوند.

۳- بازسازی: در این مرحله با داشتن اجزاء متناظر در دو تصویر چپ و راست و اطلاعات مربوط به دوربین‌ها و هندسه سیستم تصویر برداری، یعنی وضعیت دوربین‌ها نسبت به هم، موقعیت 3D اجزاء به دست می‌آیند. با توجه به مطالب فوق، می‌توان موضوع مورد بررسی را به این گونه مطرح کرد که اگر ربات سیار مجهز به دو دوربین باشد می‌تواند برای بخش‌هایی از صحنه مقابله کند که در هر دو دوربین دیده می‌شود اطلاعات عمق را اخذ کند و به این ترتیب موقعیت موضع پیش روی خود را بر روی زمین داشته باشد. این کل چیزی است که یک ربات برای انجام ماموریت خود به آن نیاز دارد.

### ۳- انتخاب و استخراج اجزاء تصاویر

همان طور که گفته شد اولین مرحله هر الگوریتم استریو انتخاب و استخراج اجزاء یا عناصر دو تصویر، برای انطباق و تعیین اجزاء متناظر می‌باشد. بر این اساس الگوریتم‌های استریو به دو دسته کلی تقسیم می‌شوند [6]:

۱- الگوریتم‌های مبتنی بر ناحیه (Area Based Algorithms): در این الگوریتم‌ها اجزاء انتخاب شده خود پیکسل‌هایی باشند و از شدت روشناهی پیکسل‌ها و همسایه‌های اطراف آنها برای تطابق استفاده می‌شود. برای یافتن پیکسل‌های متناظر می‌توان از کورلیشن یک پنجره در اطراف پیکسل مورد نظر در تصویر چپ و تمام کاندیداهای تطابق در تصویر راست به عنوان معیار انتخاب بهترین متناظر استفاده کرد. این روش‌ها دارای هزینه محاسباتی سنگین و حساسیت زیاد به روشناهی محیط می‌باشد، اما از لحاظ پیاده سازی آسان هستند. برای کاهش حجم محاسبات می‌توان فقط بخش‌های مهم تصویر، مثلاً محدوده‌های لبه‌های عمودی تصویر را برای تطابق انتخاب نمود.

۲- الگوریتم‌های مبتنی بر ویژگی (Feature Based Algorithms): در این الگوریتم‌ها یک سری اجزاء مهم و با معنی در دو تصویر استخراج شده و سپس سعی می‌شود با انتخاب یک تابع معیار مناسب تناظر یابی در سطح این اجزاء صورت پذیرد. هر جزء انتخاب شده در این روشها با یک بردار ویژگی قابل نمایش است و این بردار با پردازش تصویر، تولید می‌شود. مثلاً بردار ویژگی پاره خط می‌تواند شامل نقطه وسط، شیب و طول آن باشد. این روش‌ها حساسیت کمتری به روشناهی محیط دارند اما پیاده سازی آنها مشکل‌تر است.

روش‌های مبتنی بر ویژگی در جاها بیکاری که اطلاعات قبلی از صحنه تصویر موجود است مناسب می‌باشند چرا که می‌توان اجزاء مهم و بهترین ویژگی را انتخاب نمود. مثلاً در مورد صحنه‌های داخلی که معمولاً دارای تعداد زیادی خط مستقیم هستند و سطوح بافتی در آن کم است می‌توان پاره خط‌ها را به عنوان اجزاء اصلی انتخاب نمود. نقشه عمق پراکنده که از روش‌های مبتنی بر ویژگی به دست می‌آید نقطه ضعف این روش‌ها محسوب می‌گردد اما در برخی از کاربردها، مثل ناوبری ربات، همین نقشه عمق پراکنده کافی می‌باشد.



### ۱-۳ روش انتخابی در این مقاله

در این مقاله از یک الگوریتم استریوی مبتنی بر ویژگی استفاده شده است. ویژگی استفاده شده قطعه خط های موجود در دو تصویر می باشد. دلیل مناسب بودن قطعه خط ها برای کاربرد ربات سیار این است که:  
الف- باعث کاهش تعداد عناصر اولیه تطابق می گردد و در نتیجه زمان لازم برای فرآیند تطابق کاهش می یابد.  
همچنین میزان اختلاف زمان اجرای الگوریتم از یک تصویر به تصویر دیگر کمتر از الگوریتم های مبتنی بر پیکسل است.

ب - قطعه خط ها یک توصیف کلی از تصویر ارائه می دهند و چنانچه تطبیق و بازسازی آنها به درستی صورت گیرد  
موقعیت های خالی و اشغال بر روی نقشه زمین مشخص می شود و این اطلاعات برای کاربرد ربات سیار کافی می کند. برای استخراج پاره خط های اصلی موجود در شکل، ابتدا باید پیکسل هایی که جز نقاط لبه محسوب می شوند استخراج گردند، سپس این پیکسل ها به طریق مناسب به هم وصل شده و خطوط مرزی را تشکیل دهنند و نهایتاً پاره خط های شکل از این خطوط مرزی استخراج گردند، که در ادامه به این موارد می پردازیم.

### ۲-۳ نحوه استخراج نقاط لبه

این مرحله اهمیت ویژه ای در کل الگوریتم دارد، چرا که عملکرد مراحل بعدی الگوریتم مستقیم به خروجی این مرحله دارد. در این مرحله می بایست نقاط لبه یا مرزی (boundary) موانع موجود در تصویر استخراج گردد.  
نقاط لبه نقطی هستند که دارای تغییرات سریع شدت روشنایی در اطراف خود می باشند.

الگوریتم های مختلفی برای استخراج نقاط لبه وجود دارد که هر کدام دارای نقاط قوت و نقاط ضعف خاص خود هستند. از جمله این الگوریتم ها می توان به الگوریتم های "سوبل"، "کنی" و "تعیین نقاط عبور از صفر تصویر فیلتر شده با گاسین" اشاره کرد. الگوریتم سوبل دارای عملکرد پایین تری نسبت به دو الگوریتم دیگر است اما زمان اجرای آن به مراتب کمتر می باشد.

در الگوریتم سوبل از دو ماسک  $G_x$  و  $G_y$  در جهت  $y$ ,  $x$ , برای استخراج نقاط لبه استفاده می شود. تصویر  $f$  یک بار با  $G_x$  و یک بار با  $G_y$  کانولوو می گردد تا به ترتیب لبه های افقی یعنی تصویر  $f_x$  و لبه های عمودی یعنی تصویر  $f_y$  استخراج گردد. سپس تصویر گرادیان در هر نقطه از رابطه (۷) به دست می آید:

$$g(x, y) = \sqrt{f_x^2(x, y) + f_y^2(x, y)} \quad (7)$$

لبه هایی که تصویر  $(x, y)$  ارایه می دهد لبه های پهن هستند، همچنین لبه های نامربوط زیادی هم در آن وجود دارد. بنابراین تنها نقاط ماکریم محلی از  $(x, y)$  که از یک سطح آستانه هم بزرگتر باشد به عنوان نقاط لبه نهایی استخراج می گردد. پس در نقطه  $(x, y)$  که یک ماکریم محلی  $g$  است داریم:

$$e(x, y) = \begin{cases} 1 & \text{if } g(x, y) > T \\ 0 & \text{if } g(x, y) < T \end{cases} \quad (8)$$

که  $e(x, y)$  نقشه لبه تصویر و  $T$  مقدار آستانه می باشد. مقدار آستانه می بایست بر اساس متوسط گرادیان تصویر و ضریبی از آن انتخاب گردد. هر چه مقدار  $T$  بزرگتر انتخاب گردد لبه های کمتر و مهم تری از تصویر پیدا می شود. نتایج پیاده سازی ها در این تحقیق نشان داد که مقدار واحدی برای  $T$  نمی توان یافت که هم نقاط لبه مربوط به موانع را در بر داشته باشد و هم لبه های نامربوط، ناشی از تغییرات شدت روشنایی در نقاط مختلف محیط یا لبه های



ضعیف، را حذف کند. به این دلیل در ابتدا با یک مقدار  $T$  بزرگ، نقاط اصلی مربوط به لبه ها پیدا شد و سپس در یک تصویر آستانه شده با  $T$  پایین تر این نقاط به عنوان نقاط بذری جهت گسترش لبه ها استفاده گردید. به این ترتیب تا حد قابل قبولی هر دو منظور فوق برآورده شده است.

### ۳-۳ اتصال نقاط لبه به یکدیگر

پس از یافتن نقاط کاندید برای لبه بودن می باشد این نقاط به یکدیگر وصل گردد و به عبارت دیگر اجزاء متصل به هم یا خطوط مرزی یافت شود. الگوریتم ساده زیر برای یافتن نقاط اتصال-هشت (eight connected) به یکدیگر استفاده شده است:

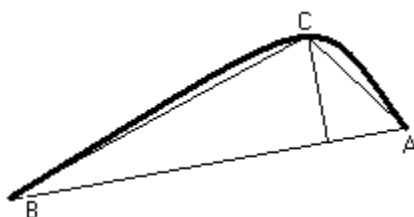
تصویر از گوشه بالای سمت چپ اسکن می شود تا به یک نقطه که متعلق به لبه است برسیم. لیست جدیدی باز می شود و این نقطه در ابتدای آن قرار می گیرد. اگر نقطه ای در اتصال-هشت این نقطه باشد که آن هم جزء لبه باشد به این لیست اضافه می گردد و سپس به این نقطه جدید می رویم این کار تا هنگامی که نقطه متصل یافته شود ادامه پیدا می کند. در پایان این لیست را می بندیم و کلیه نقاط این لیست را در تصویر لبه برچسب می زنیم و سپس به دنبال نقاط لبه بعدی می رویم. در انتهای این مرحله ما لیست لبه های متصل به هم در تصویر را خواهیم داشت. لیست هایی که تعداد نقاط آنها از یک حد آستانه مثلا ۱۰ پیکسل کمتر باشد مربوط به نویز یا دارای اطلاعات نامربوط هستند و از مجموعه لیست ها حذف می گردند.

### ۴-۴ یافتن پیکسل های روی یک پاره خط مستقیم در هر مجموعه نقاط متصل

در این مرحله هر کدام از لیست های نقاط متصل، به تعدادی پاره خط مستقیم شکسته می شوند. برای انجام این کار از الگوریتم زیر استفاده شده است(برای روشن شدن نحوه کار الگوریتم به شکل (۳) توجه شود) :

ابتدا خطی که نقاط ابتدا و انتهای لیست را به هم وصل می کند تعیین می شود (در شکل از نقطه A به نقطه B) و سپس فاصله کلیه نقاط لیست تا این خط مشخص می گردد. نقطه ای که دارای بیشترین فاصله تا خط فوق باشد تعیین می گردد (نقطه C). اگر این فاصله از یک حد آستانه بزرگتر باشد لیست باید در این نقطه قطع گردد و سپس الگوریتم برای نقاط از ابتدای لیست تا نقطه جدید (نقطه C) و نقطه جدید تا انتهای لیست تکرار گردد. این عمل آنقدر تکرار می شود که همه پیکسل های متناظر با خط های مستقیم در لیست جدا گردند.

در انتهای این مرحله هر لیست به تعدادی لیست جدید که عناصر آنها معرف نقاط روی یک پاره خط مستقیم است تجزیه می گردد. برای مثال لیست شکل (۳) به قطعه های AC,CB تجزیه می گردد.



شکل (۳): نحوه یافتن خط های مستقیم روی نقاط متصل



#### ۴- استخراج بردارهای ویژگی اجزاء، تطبیق آنها و یافتن اجزاء متناظر

در این مقاله، اجزاء انتخاب شده از تصویر، پاره خط های مستقیم می باشند که از پیکسل های متصل به هم تشکیل شده و در لیست های جداگانه ضبط شده اند. برای توصیف هر قطعه خط به شکل یک بردار که قابل مقایسه با یکدیگر باشند، می بایست یک سری خصوصیات از هر خط که معرف آن خط باشد استخراج گردد، به نحوی که خط با این بردار ویژگی شناخته شود و این خصوصیات برای تطبیق خطوط با یکدیگر استفاده گردد.

#### ۱- انتخاب بردار ویژگی

بردار ویژگی انتخاب شده برای هر خط یک بردار ۵ عنصری است که عناصر آن عبارتند از: طول خط ( $L$ )، جهت خط ( $\theta$ )، کنتراست متوسط در امتداد خط ( $C$ )، مختصات افقی نقطه میانی خط ( $Midx$ )، مختصات عمودی نقطه میانی خط ( $Midy$ )

برای استخراج بردار فوق برای هر قطعه خط ابتدا بر روی پیکسل های هر لیست معرف یک خط، یک خط برازش می شود به قسمی که دارای کمترین میانگین مربع خط باشد (Mean Square Error). سپس تصویر نقاط ابتداء و انتهای لیست بر روی این خط پیدا می شود و به عنوان نقاط ابتداء و انتهای خط در نظر گرفته می شود. به این ترتیب هر خط

با  $\begin{bmatrix} x_1 \\ y_1 \end{bmatrix}$  مختصات نقطه ابتدایی و  $\begin{bmatrix} x_2 \\ y_2 \end{bmatrix}$  مختصات نقطه انتهایی بیان می گردد. با این توصیف عناصر بردار ویژگی به ترتیب طبق روابط (۹) الی (۱۲) محاسبه می گردند:

۱- طول خط

$$L = \sqrt{(x_2 - x_1)^2 + (y_2 - y_1)^2} \quad (9)$$

۲- جهت خط

$$\theta_i = \tan \frac{y_2 - y_1}{x_2 - x_1} \quad (10)$$

۳- کنتراست متوسط در طول خط: این پارامتر اطلاعاتی در مورد سطح خاکستری ناحیه ای که خط در آن واقع شده است در اختیار ما قرار می دهد. اگر تعداد عناصر لیست برای خط،  $N$  پیکسل باشد:

$$C = \frac{1}{N} \sum_{i=1}^N f(i) \quad (11)$$

که  $f(i)$  متوسط جمع مربعات تفاضل سطح خاکستری در پیکسل  $\begin{bmatrix} x_i \\ y_i \end{bmatrix}$  در یک همسایگی  $3 \times 3$  با مقدار متوسط آن در این همسایگی است.

۴-۵- مختصات نقطه میانی: این پارامترها اطلاعاتی در مورد محل خط در تصویر در اختیار ما قرار می دهد که در مرحله یافتن تطبیق ها و بازسازی به کار می آید.

$$Midx = \frac{x_1 + x_2}{2}, \quad Midy = \frac{y_1 + y_2}{2} \quad (12)$$



## ۲-۴ تطبیق ویژگی ها

پس از آنکه بردارهای ویژگی برای هر قطعه خط در تصویر چپ و تصویر راست پیدا شد می باشد مساله تطابق یعنی یافتن خطوط متناظر در دو تصویر حل گردد. برای تطابق از چهار مولفه اول بردار ویژگی استفاده می شود.تابع معیار که برای سنجش میزان شباهت قطعه خط ها استفاده شده است مطابق رابطه (۱۳) است:

$$D(l_i, l_j) = w_l \left( \frac{L_i - L_j}{L_i} \right)^2 + w_\theta (\theta_i - \theta_j)^2 + w_c (C_i - C_j)^2 + w_{M_y} (Midy_i - Midy_j)^2 \quad (13)$$

در رابطه (۱۳)  $l_i, l_j$  دوخطی است که می خواهیم فاصله عدم تشابه آنها  $D(l_i, l_j)$  را بر حسب بردارهای ویژگی آنها پیدا کنیم و ضرائب  $w$  وزن فاصله هر کدام از مولفه ها را نشان می دهد. قابل ذکر است که علت قرار دادن مولفه آخر، لحاظ کردن شرط epipolar برای سیستم استریو با دوربین های موازی است که الزام می دارد که متناظر هر پیکسل در تصویر چپ را، روی سط्रی مشابه در تصویر راست جستجو کنیم. ضرائب وزن در این مقاله به شکل تجربی تعیین شده است. الگوریتم به کار رفته برای تطابق بردارهای ویژگی در تصویر چپ و بردارهای ویژگی در تصویر راست در دو مرحله و به صورت زیر است:

۱- بdst آوردن کاندیداهای ممکن برای تطابق

برای هر قطعه خط در تصویر چپ کاندیداهای ممکن با توجه به شرط epipolar و حداقل فاصله ممکن به dst می آید. شرط epipolar به این شکل اعمال می گردد که می باشد اختلاف مختصات میانه افقی،  $Midy$  برای کاندیداهای تناظر و قطعه خط مرجع از یک حد آستانه ای کمتر باشد.

$$|Midy_i - Midy_j| < T \quad (14)$$

همچنین چون "عمق" ارتباط معکوس با میزان تمایز (disparity)، یعنی اختلاف  $x$  در دو تصویر برای دو پیکسل متناظر دارد و حداقل عمق مجاز محدود است پس حداقل مقدار  $d$  نیز مشخص است.

$$0 \leq Midx_i - Midx_j \leq d_{\max} \quad (15)$$

۲- یافتن بهترین کاندید

پس از تعیین کاندیداهای ممکن برای هر خط در تصویر چپ، فاصله خط تا هر کدام از کاندیداهای با توجه به رابطه (۱۳) به dst می آید و سپس کوچکترین فاصله پیدا می شود. اگر این فاصله از یک حد آستانه ای کوچکتر باشد این تطابق پذیرفته می شود و این دو خط برچسب خورده در مراحل بعدی شرکت نمی کنند. در پایان این مرحله تعدادی از خطوط در تصویر چپ با تعدادی از خطوط در تصویر راست متناظر شده اند. همچنین تعدادی از خطوط به اشتباه تطبیق می شوند که به آنها تطبیق نادرست می گوییم.

## ۵- بازسازی (Reconstruction)

پس از یافتن خطوط متناظر با هم، می باشد بازسازی برای این خطوط انجام شود. بازسازی با توجه به معادلات (۳ و ۶) برای دو نقطه متناظر انجام می شود. در این معادلات بازسازی هر نقطه نسبت به دوربین سمت چپ انجام می شود. برای بازسازی می باشد در معادلات مذکور "مختصات پیکسلی" را به مختصات بر حسب میلی متر تبدیل کنیم بنابر این پارامترهای دوربین را لازم داریم. اگر بخواهیم نقشه زمین موانع را داشته باشیم می باشد ارتباط بین دستگاه مختصات متصل به دوربین سمت چپ و یک دستگاه مختصات متصل به پایه ربات را هم به dst آوریم.



## ۵-۱ کالیبراسیون

"کالیبراسیون" پرسه تعیین پارامترهای داخلی و پارامترهای خارجی سیستم تصویر برداری است. پارامترهای داخلی، مشخصات نوری و هندسه داخلی دوربین را بیان می‌کند و شامل فاصله کانونی موثر ( $f$ )، ضرائب اعوجاج لنزها و پارامترهای اسکن تصویر، مانند مرکز تصویر می‌باشد. پارامترهای خارجی، موقعیت و جهت سه بعدی دوربین را نسبت به دستگاه مختصات مرجع مشخص می‌کند.

شکل (۴) دستگاه مختصات متصل به دوربین و دستگاه مختصات متصل به پایه ربات و اثر اعوجاج را نشان می‌دهد. در شکل (۴)  $(x_w, y_w, z_w)$  دستگاه مختصات محیط و  $(x, y, z)$  مختصات نقطه  $p$  در این دستگاه است.  $O$  مرکز نوری تصویر شدن است که به فاصله  $f$  از صفحه تصویر قرار دارد.  $(X, Y)$  دستگاه مختصات تصویر است که مرکز آن  $O_i$  محل تقاطع صفحه تصویر و محور  $Z$  است و موازی محورهای  $x, y$  است.

روابط (۲) و (۶)، برای به دست آوردن اطلاعات عمق، با فرض مدل روزنه‌ای کامل برای دوربین به دست آمده‌اند. با این فرض برای نقطه  $P$ ، اطلاعات تصویر  $(X_u, Y_u)$  مورد نیاز می‌باشد که به آن مختصات بدون اعوجاج یا ایده‌آل تصویر می‌گوئیم. در عمل به جهت وجود اعوجاج شعاعی لنزها، تصویر  $P$  در نقطه  $(X_d, Y_d)$  تشکیل می‌شود که آن را مختصات واقعی نامگذاری می‌کنیم.  $(X_u, Y_u)$  و  $(X_d, Y_d)$  کمیت‌های پیوسته می‌باشند، ولی به جهت ماهیت دیجیتالی صفحات CCD، در عمل مختصات پیکسلی که با  $(X_f, Y_f)$  نشان می‌دهیم در دست می‌باشد که در آن شماره سطر و ستون پیکسل تصویر می‌باشد.

در پرسه کالیبراسیون، از تعدادی نقاط که مختصات آنها در دستگاه  $(X_w, Y_w, Z_w)$  و نیز مختصات پیکسلی آنها در دوربین مشخص است استفاده می‌شود و با داشتن نقاط و تصویر پیکسلی آنها، پارامترهای داخلی و خارجی که در این نگاشت نقش دارند محاسبه می‌گردند. در این تحقیق از روش کالیبراسیون Tsai [6] استفاده شده است. در این روش با استفاده از حدود ۶۰ نقطه در محیط و تصویر پیکسلی آنها، تخمین پارامترها صورت می‌گیرد. روش با اثبات شعاعی بدون اعوجاج لنزها، پارامترها را دسته بندی نموده و در دو مرحله محاسبه می‌کند. رابطه بین یک نقطه در دستگاه مختصات محیط و مختصات پیکسلی آن طی چهار مرحله مشخص می‌شود:

**مرحله ۱:** تبدیل از سیستم مختصات محیط  $(X_w, Y_w, Z_w)$  به مختصات 3D سیستم دوربین  $(x, y, z)$  در نقطه  $O$ .

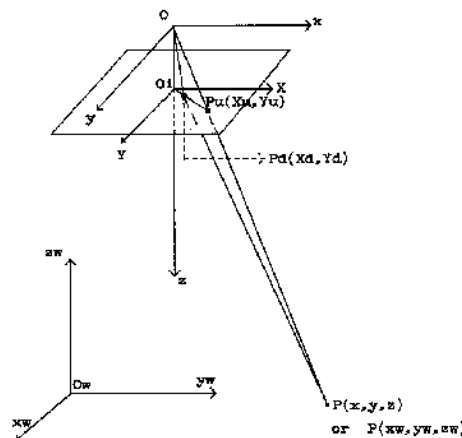
**مرحله ۲:** به دست آوردن مختصات ایده‌آل تصویر  $(X_u, Y_u)$ ، با داشتن نقطه  $P$  در دستگاه مختصات 3D دوربین و با استفاده از تبدیل پرسپکتیو و در نظر گرفتن مدل روزنه‌ای برای دوربین.

**مرحله ۳:** رفع اثر اعوجاج شعاعی لنزها.

**مرحله ۴:** تبدیل مختصات واقعی  $(X_d, Y_d)$  به مختصات پیکسلی  $(X_f, Y_f)$ .

## ۵-۲ بازسازی خط

پس از انجام کالیبراسیون، اثر اعوجاج لنزها حذف شده و ماتریس‌های تبدیل از مختصات دوربین به مختصات محیط نیز به دست آمده‌اند. رابطه (۶) برای به دست آوردن عمق و ماتریس‌های تبدیل برای بازسازی قبل استفاده می‌باشد. با توجه به اینکه تصویر هر خط مستقیم بر روی صفحه زمین یک خط مستقیم و یا یک نقطه، در حالتی که خط عمود بر سطح زمین باشد خواهد بود برای بازسازی خط در روی صفحه زمین کافی است که بازسازی برای نقاط ابتدا و انتهای انجام شود یعنی تصویر نقطه ابتدا و انتهای بر روی زمین به دست می‌آید و سپس این دو نقطه توسط یک پاره خط به یکدیگر وصل می‌گردد.



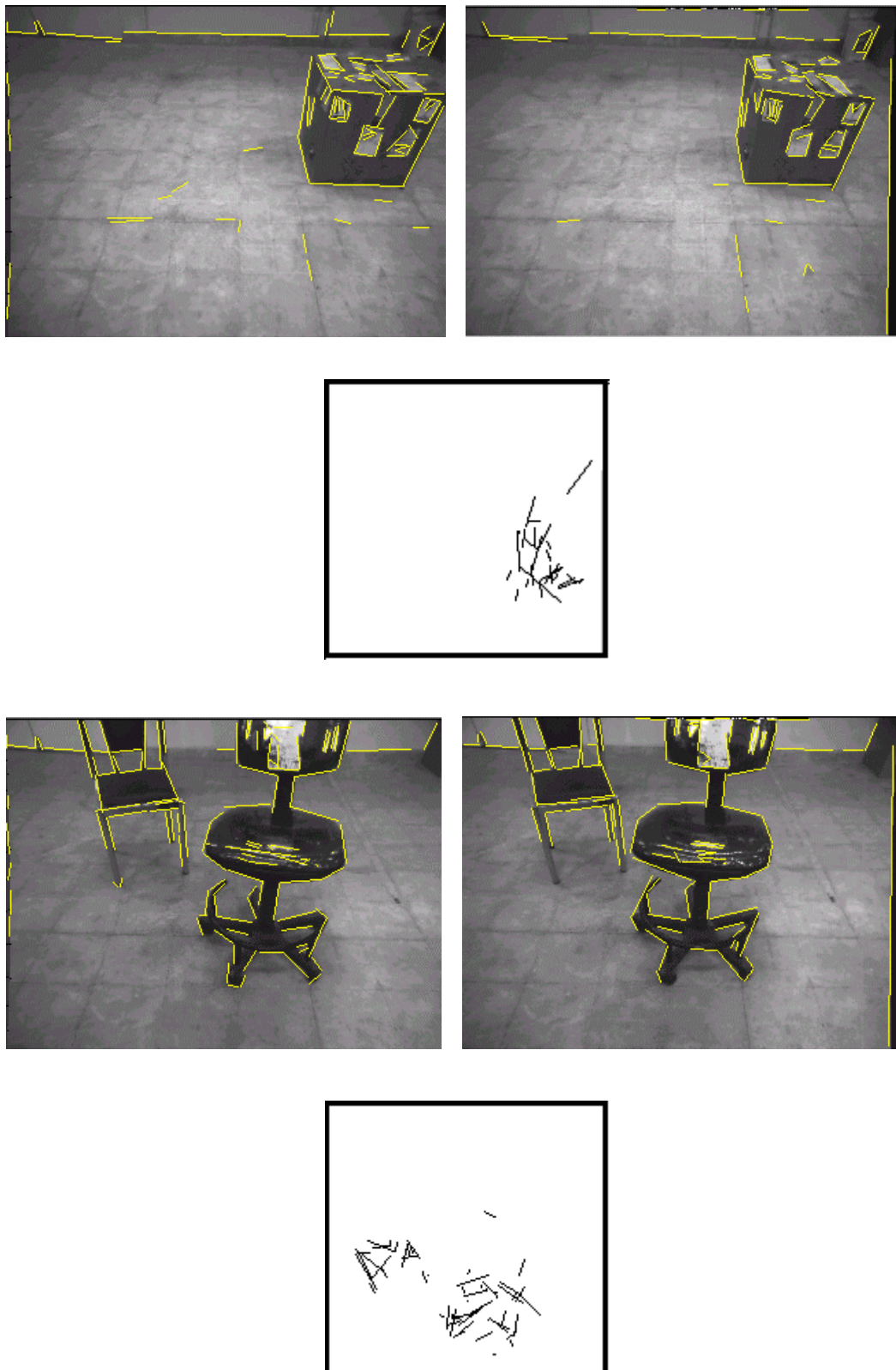
شکل(۴): ارتباط دستگاه مختصات دوربین و دستگاه مختصات محیط و نیز اثر اعوجاج

#### ۶- بستر آزمایشگاهی و نتایج عملی

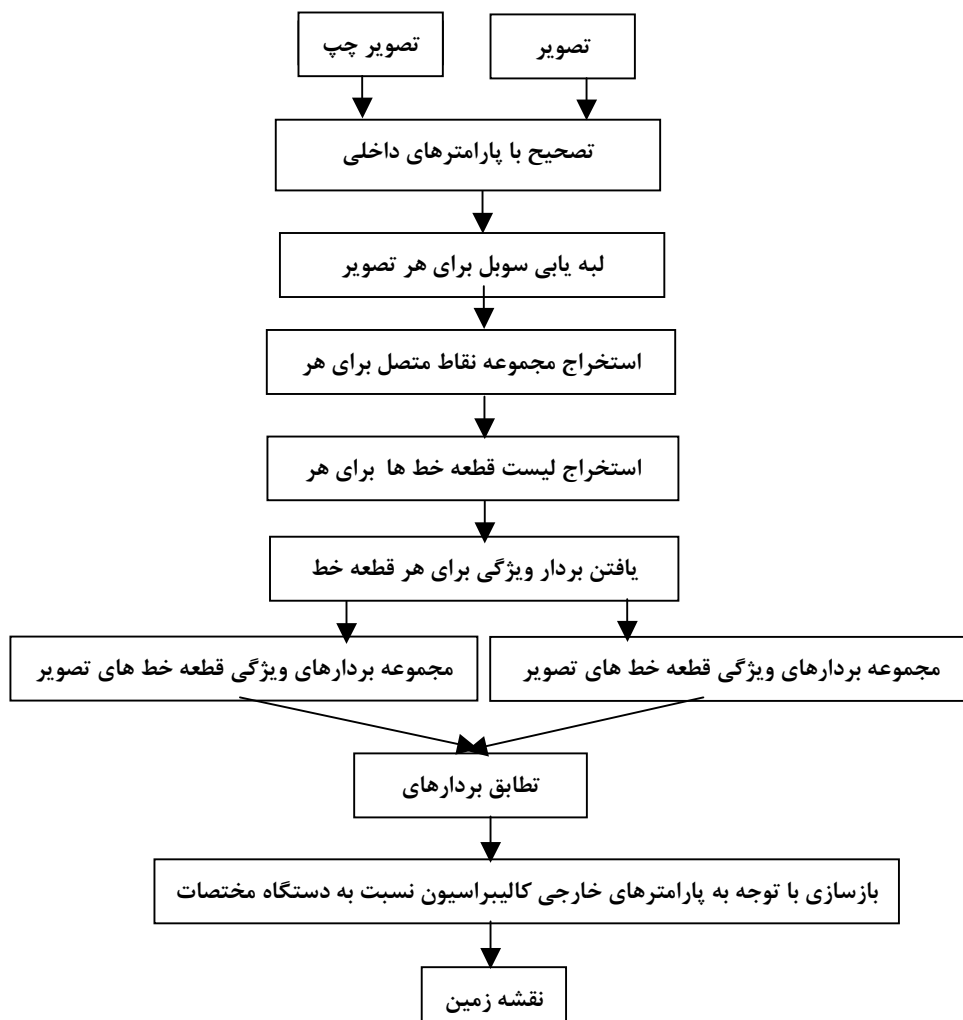
در این تحقیق، دوربین استریوی بکار رفته دوربین MEGA-D است که بر روی یک ربات سیار در ارتفاع حدود ۱/۲ متر نصب شده است. ابعاد CCD های دوربین  $960 \times 720$  میلی متر است که در بالاترین رزولوشن، تصویری با  $960 \times 1280$  پیکسل در اختیار می گذارد. تصویر، به وسیله نرم افزار همراه دوربین، پس از یک مرحله کاهش نمونه ها و سپس متوسط گیری یعنی تبدیل ۴ پیکسل به ۱ پیکسل، به تصویر  $320 \times 240$  تبدیل می گردد. فاصله کانونی عدسی دوربین ها  $7/5$  میلی متر است. پروسسور استفاده شده برای اجرای الگوریتم ها یک پنتیوم III با فرکانس ۹۳۳ مگاهرتز است. با توجه به محدوده دید دوربین ها، نقشه زمین در مستطیلی به ابعاد  $2 \times 3$  متر به دست می آید که ربات در وسط ضلع پایین آن قرار دارد. شکل های (۵)، عملکرد الگوریتم را، برای دو صحنه انتخاب شده نشان می دهد. برای هر صحنه در سمت چپ "تصویر چپ" و در سمت راست "تصویر راست" و در زیر آن "نقشه زمین" نشان داده شده است. خطوط استخراج شده برای تصاویر، با رنگ سفید مشخص شده اند. زمان اجرای الگوریتم در صحنه اول ۱۵۵ میلی ثانیه و در صحنه دوم ۲۰۰ میلی ثانیه بوده است. شکل (۶) فلوچارت کلی سیستم را نشان می دهد.

#### ۷- جمع بندی و نتیجه گیری

در این مقاله، تولید نقشه موانع بر روی زمین، با استفاده از بینایی استریوو و به منظور ناوبری ربات سیار، ارائه شده است. برای این منظور از یک الگوریتم مبتنی بر ویژگی استفاده شده است. در این الگوریتم، لبه های تصویر به روش لبه یابی سوبل استخراج شده و لبه ها به پاره خط های مستقیم تقسیم شده اند. برای پاره خط ها بردار ویژگی به منظور تطبیق پاره خط ها در دو تصویر، محاسبه شده است. در نهایت بازسازی با به دست آوردن تصویر پاره خط های متناظر، نقشه زمین را به دست داده است. از این نقشه در ناوبری ربات می توان استفاده نمود. الگوریتم با استفاده از دوربین MEGA-D و پروسسور پنتیوم III با سرعت  $933 \text{ MHz}$  مورد ارزیابی قرار گرفته است و نمونه هایی از نقشه های تولید شده ارائه گردیده است. زمان اجرای الگوریتم در نمونه های ارائه شده کمتر از ۲۰۰ میلی ثانیه می باشد که امکان استفاده از این روش را در زمان واقعی و سرعت های معمول نشان می دهد.



شکل (۵) : نتایج اجرای الگوریتم برای تصاویر انتخاب شده



شکل (۶) : فلوچارت کلی سیستم

#### - مراجع

- [1] D. Murray, C. Jennings, “Stereo Vision based Mapping and Navigation for Mobile Robots”, IEEE Int. Conf. on Robotics and Automation, 1997.
- [2] G. Beccari, S. Caselli, F. Zanichelli, A. Calafiore, “Vision-based line tracking and navigation in structured environments”, Computational Intelligence in Robotics and Automation, 1997.
- [3] R. C. Gonzalez, R. E. Woods, Digital image Processing, Addison Wesley, 1993.
- [4] K. Warwick, Robotics: Applied Mathematics and Computational Aspects, Clarendon Press, 1993.



- [5] D. Burschka, S. Lee, G. Hager, “Stereo-Based Obstacle Avoidance in Indoor Environments with Active Sensor Re-Calibration”, Proc. Of IEEE International Conference on Robotics & Automation, 2002.
- [6] E. Trucco, A. Verri, Introductory Techniques for 3D Computer Vision, Prentice Hall, 1998.
- [7] R. Y. Tsai, “A Versatile Camera Calibration Technique for High-Accuracy 3D Machine Vision Metrology Using Off-the Shelf TV Cameras and Lenses”, IEEE Journal of Robotic and Automation, 1987.